

パラメータ平面を使用しない高精度 Hough変換を用いた近接2直線 の識別

Discrimination of close two lines
by high precision Hough transform
without using a parameter plane

塩野 充
Mitsuru SHIONO

岡山理科大学 工学部電子工学科
Okayama University of Science

あらまし Hough変換は画像中に存在する直線等を安定に検出する有力な特徴抽出手法として近年その応用が活発化している。Hough変換の問題点の1つとして $\theta - \rho$ パラメータ平面に必要とするメモリの問題がある。検出しようとする直線の傾斜や間隔の精度を高めるには θ 、 ρ を細かく計算する必要があり、それだけパラメータ平面を大きく設定しなければならず、大きな配列用のメモリが必要となる。本研究ではHough曲線の全ての交点を代数的に求め、その座標値を指定桁で丸めてから併合する方法で、パラメータ平面を全く使用せずに任意の高精度で直線検出が可能な方法（丸め併合法）を提案し、極めて近接した2本の直線を識別する基礎実験を行った。

ABSTRACT Hough transform is one of the most stabilized methods for feature extraction from digital images. One of the problems of Hough transform for practical use is that it requires very large memory for $\theta - \rho$ parameter plane. If very high precision about θ or ρ is required, the parameter plane grows very large. In this report, a method for Hough transform computation without using a parameter plane is proposed and the result of its experiment is shown. By this method, high precision computation can be executed with so small memory.

1. まえがき

Hough(ハフ)変換は画像中に存在する直線等を安定に検出する有力な特徴抽出手法として近年その応用が活発化している⁽¹⁾。ハフ変換を用いれば、細線化追跡法等の局所的方法では検出困難な低品質画像等における断続(途切れ)の多い不安定な直線成分をも安定に検出することができる。さらに、直線だけではなく、円や橢円、その他の一般的な図形を抽出しようとする一般化ハフ変換法の研究も行われている。

ハフ変換の問題点としては2つが考えられる。第1は計算量の多さに起因する処理速度の問題であり、種々の高速化手法が提案されている⁽²⁾⁻⁽⁵⁾。第2は $\theta - \rho$ パラメータ平面に必要とするメモリの問題である。検出しようとする直線の

傾斜や間隔の精度を高めるには θ 、 ρ を細かく計算する必要があり、パラメータ平面を非常に大きく設定しなければならず、そのための大きな2次元配列用のメモリが必要となる。本研究ではハフ曲線の全ての交点を代数的に求め、その座標値を指定桁で丸めてから併合する方法で、パラメータ平面を全く使用せずに任意の高精度で直線検出が可能な方法（丸め併合法と呼ぶ）を示し、極めて近接した2本の直線の識別実験を行った。

2. ハフ変換

通常のハフ変換による直線の検出方法を以下に示す。画面サイズ $X \times Y$ の2値原画像を $F(x, y)$ ($x = 0, 1, 2, \dots, X-1$; $y = 0, 1, 2, \dots, Y-1$) とし

、その中のN個の黒点（エッジ点）を $P_i (x_i, y_i)$ ($i = 1, 2, \dots, N$) とすると、1個の黒点 P_i に関するハフ曲線（ $\theta - \rho$ パラメータ平面上の、「～」状の形をした曲線のこと、原画面上の1個の黒点がパラメータ平面上の1本のハフ曲線に対応する）は次式で表される。

$$\rho = x_i \cos \theta + y_i \sin \theta \quad (1)$$

このハフ曲線を2次元配列 $G(k, \ell)$ ($k = 0, 1, 2, \dots, K; \ell = 0, 1, 2, \dots, L$) で表された $\theta - \rho$ パラメータ平面 ($0 \leq \theta \leq 2\pi$) に写像する。それには、 θ を0から逐次、 $\Delta\theta, 2\Delta\theta, 3\Delta\theta, \dots, 2\pi$ 、と増加させていく、その各々の場合の ρ の値を式(1)で計算して、配列 G 上の対応する $G(k, \ell)$ の要素値を1だけ増加させる。なお、配列 G の初期値は全て0とする。この場合、検出精度をあげるために θ 軸の刻み $\Delta\theta$ を小さくすれば、配列 G の θ 方向の要素数 K は大きくなり、大きなメモリが必要となる。

全ての黒点に対してこの計算を行うと、配列 G 上には全てのハフ曲線が描かれ、複数のハフ曲線が交わっている部分ではその要素値が、交点の度数分布を表していることになる。これより、度数分布の最も大きい交点の(θ, ρ)を求める

と、式(1)から検出すべき直線の方程式が得られる。

上記の方法はハフ変換による直線抽出の最も基本的な方法であるが、上述したように θ の検出精度を上げようとして、 θ の刻み $\Delta\theta$ を小さくすると、パラメータ平面を表す配列 G の k 方向の要素数 K が大きくなり、それだけ大きなメモリが必要となってしまう。このことは ρ の検出精度を上げようとする場合でも同じである。

本研究では、 θ や ρ の検出精度を上げるために、 θ や ρ の刻みをいくら小さくしても大きなメモリを必要としない方法として、パラメータ平面を全く使わない方法を提案し、基礎的な実験を行った。次章以下にその説明を行う。

3. 丸め併合法

(3-1) 処理の流れ

図1に本方式（丸め併合法）の処理の流れを示すジェネラルフローチャートを示す。

(a) ではまず画面サイズ $X \times Y$ の画像格納用2次元配列 F ($0 : X-1, 0 : Y-1$) 上に逆正接の数表を作成する。この数表に作成される逆正接の値は後述するように、 $\arctan(x/y)$ である。

(b) では、処理対象となる2値画像を F に入力する。この場合、2値の画素値と(a)で作成した数表とを重畠させて記憶するために後述するような方法を用いている。

(c) では、画面 F を走査し、対象とする全ての黒点（エ

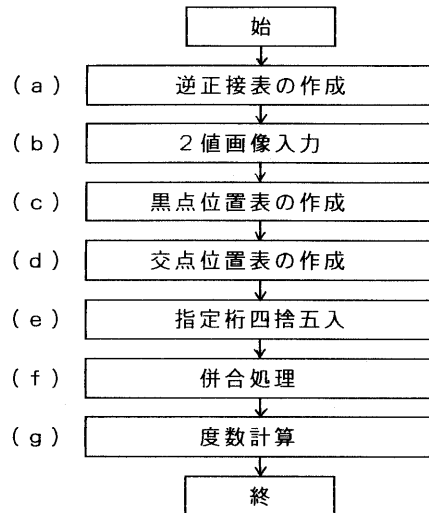


図1 本方式のジェネラルフロー

ッジ点）を検出して、その x, y 座標値を配列 P に記録する。 P は黒点位置表である。

(d) では任意の2つの黒点に対して、ハフ曲線の交点座標 (θ, ρ) を求めて、それを配列 C に記録する。全ての黒点の2個の組み合わせに対して計算を行う。 C は交点位置表である。

(e) では配列 C に格納された θ と ρ に関して、必要な精度で指定された桁で四捨五入を行う。

(f) では四捨五入した結果、 θ, ρ とも等しくなった交点を順次併合してゆく。この時、併合回数も記録してゆく。これが度数となる。

(g) では併合回数、すなわち度数の最大のものを抽出して、その時の θ と ρ を求め、検出すべき直線の方程式を求める。抽出したい直線の数だけこの操作を繰り返す。

(3-2) 逆正接表の作成

2値原画像 F の中のN個の黒点（エッジ点）を $P_i (x_i, y_i)$ ($i = 1, 2, \dots, N$) とすると、任意の2個の黒点 P_i と P_j に関するハフ曲線は次式で表される。

$$\rho = x_i \cos \theta + y_i \sin \theta \quad (2)$$

$$\rho = x_j \cos \theta + y_j \sin \theta \quad (3)$$

式(2)、(3)を解くと、

$$\left. \begin{aligned} \theta &= -\arctan(\Delta x_{ij}/\Delta y_{ij}) \\ \Delta x_{ij} &= x_i - x_j \\ \Delta y_{ij} &= y_i - y_j \end{aligned} \right\} \quad (4)$$

ρ は式(4)を式(2)へ代入すると得られる。画面サイズは $X \times Y$ ゆえ、

$$\left. \begin{array}{l} 0 \leq |\Delta x_{ij}| \leq X-1 \\ 0 \leq |\Delta y_{ij}| \leq Y-1 \end{array} \right\} \quad (5)$$

となる。従って、

$$\arctan(|\Delta x_{ij}| / |\Delta y_{ij}|)$$

の表はサイズが $X \times Y$ となり、原画像 F と同じサイズである。本方式では時間の掛かる \arctan の計算を表参照形式で行う。更にメモリ節減の工夫として、 \arctan の表を原画像の画面に重複して格納しておく。即ち、

$$\text{if } F(x, y) = \begin{cases} 0 & \text{then } F(x, y) \leftarrow \arctan(X/Y) \\ 1 & \text{then } F(x, y) \leftarrow \arctan(X/Y) + G \end{cases} \quad (6)$$

とする。ここで、 \leftarrow は代入を意味する。 $G (> 2\pi)$ は適当な正数であり、 F が G 以上の場合は黒画素であることを表し、又、 G を取り除いた F の値が逆正接表を表している。即ち

$$\text{if } F(x, y) \geq G \text{ then } \arctan(X/Y) = F(x, y) - G \\ \text{else } \arctan(X/Y) = F(x, y) \quad (7)$$

となる。このようにして、逆正接表のためだけの特別なメモリ領域を使用せずに表参照計算を可能にしている。

(3-3) 交点位置表の作成

N 本のハフ曲線の交点数は、

$$N_h = n C_2 = N(N-1)/2 \quad (8)$$

となる。交点位置格納用の 2 次元配列、

$$C(1 : 3, 1 : N_h)$$

を用意し、式 (3) によって求めた N_h 個の交点位置の θ を $C(1, *)$ に、 ρ を $C(2, *)$ に格納する。ここで、 $*$ は全ての添字を表す。すなわち配列の断面を表す。 $C(3, *)$ は後述するように度数を格納するための場所である。

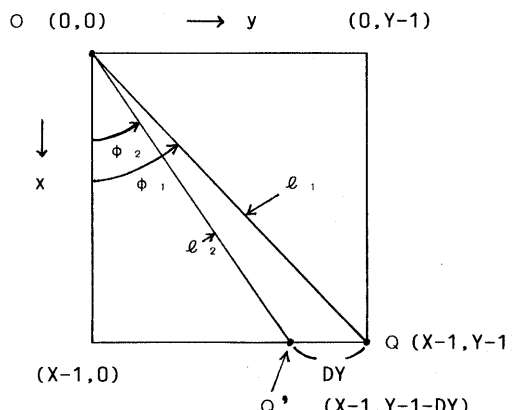


図 2 検出対象とする 2 本の直線

(3-4) 丸めと併合

全ての $C(1, *)$ 、 $C(2, *)$ をそれぞれ小数第 μ 位と小数第 ν 位で四捨五入する。すなわち、 θ は小数第 μ 位で ρ は小数第 ν 位で四捨五入する。 μ と ν は必要とする θ 、 ρ の精度によって決める四捨五入の桁数で、精度が細かくなる程大きくなる。例えば、 $C(1, n)$ が 1.234567 のとき、 $\mu=4$ で四捨五入を行うと、 $C(1, n)=1.2346$ となる。

この後、交点の度数を計算して $C(3, *)$ へ格納する。即ち、ある 2 つの交点の θ と ρ がともに一致すれば、その 2 つの交点は併合可能と見なし、 $C(3, *)$ の値を 1 だけ増加する。なお、 $C(3, *)$ の初期値は全て 1 としておく。度数計算のアルゴリズムを以下に示す。 \wedge は and を表し、 \rightarrow は代入を表す。

$$\left. \begin{array}{l} \text{if } C(1, i) = C(1, j) \\ \wedge C(2, i) = C(2, j) \\ \wedge C(1, i) \neq -999 \\ (i = 1 \sim N_h - 1, j = i + 1 \sim N_h) \\ \text{then } C(3, i) \leftarrow C(3, i) + 1 \\ C(1, i) \leftarrow -999 \end{array} \right\} \quad (9)$$

(3-5) 直線の検出

度数のしきい値を τ として、 τ 以上の度数の直線を検出するとすれば、検出される直線の方程式は次のようにになる。

$$\left. \begin{array}{l} \rho_m = x \cos \theta_m + y \sin \theta_m \\ \text{但し、} \theta_m = C(1, m) \\ \rho_m = C(2, m) \\ C(3, m) \geq \tau \end{array} \right\} \quad (10)$$

式 (10) は次のようにも書ける。

$$\left. \begin{array}{l} y = -\cot \theta_m \cdot x + \rho_m / \sin \theta_m \\ (\theta_m \neq 0, \pi \text{ のとき}) \\ y = \rho_m / \cos \theta_m \\ (\theta_m = 0, \pi \text{ のとき}) \end{array} \right\} \quad (11)$$

4. 識別実験

(4-1) 原画像の作成

画面サイズ $X \times Y$ の原画像を $F(0 : X-1, 0 : Y-1)$ とし、その対角線 ℓ_1 と、その対角線に非常に近接した直線 ℓ_2 とを画面 F 上に N 個の黒点として表し、本方式によつてそれら 2 本の直線を識別して検出する実験を行つた。

直線 ℓ_1 は原点 $O(0, 0)$ および $Q(X-1, Y-1)$ を通る直線であり、直線 ℓ_2 は原点 O と、点 Q から y 方向に DY だけ変位した点 $Q'(X-1, Y-1-DY)$ を通る直線である。この設定を図 2 に示す。 ℓ_1 、 ℓ_2 の方程式は各々次式のようになる。

$$\ell_1 : y = \{ (Y-1) / (X-1) \} x \quad (12)$$

$$\ell_2 : y = \{ (Y-1-DY) / (X-1) \} x \quad (13)$$

実際の実験では、 $X=Y$ の正方形としたので、 ℓ_1 は傾き 45° 、 ℓ_2 は傾き 45° 弱の直線である。変位 DY は、最小値の1として、直線 ℓ_2 が直線 ℓ_1 に最も近接した状況とした。なお、 ℓ_1 、 ℓ_2 とも原点を通るので、y切片はいずれも0である。

N個(偶数)の黒点を画面F上に配置するには乱数を用いた。N個のうちの半分は直線 ℓ_1 上に、他の半分は直線 ℓ_2 上に位置するように設定した。即ち、 r を区間 $[0, 1]$ の一様乱数とするとき、黒点 $P_i(x, y)$ ($i=1 \sim N/2$) は、

$$\left. \begin{array}{l} x = \text{round} \{ (X-1) r \} \\ y = \text{round} [\{ (Y-1) / (X-1) \} x] \\ = x \end{array} \right\} (14)$$

として直線 ℓ_1 上に分布し、黒点 $P_j(x, y)$ ($j=N/2+1 \sim N$) は、

$$\left. \begin{array}{l} x = \text{round} \{ (X-1) r \} \\ y = \text{round} [\{ (Y-1-DY) / (X-1) \} x] \\ = \text{round} [\{ (X-1-DY) / (x-1) \} x] \\ = \text{round} [\{ 1-DY / (X-1) \} x] \end{array} \right\} (15)$$

として直線 ℓ_2 上に分布するようにした。ここで、`round`は小数第1位を四捨五入して整数化する操作を表す。これはデジタル画面が、整数による格子点の表現であるために行う操作であり、この時点で量子化誤差が発生するがやむを得ない。

(4-2) 実験結果と検討

実験における画像Fの画面サイズ $X \times Y$ ($X=Y$) は、 $X=32, 64, 128, 256, 512, 1024$ の6つの場合について行った。又、各々の場合について、黒点数Nを $16, 32, 64, \dots$ と変化させて実験を行った ($N \leq X$)。いずれの場合も直線 ℓ_2 の変位 DY は最小の1として行った。従って、画面サイズが大きくなる程、直線 ℓ_2 は直線 ℓ_1 に接近することになる。実験は東京大学大型計算機センターの HITAC/M682 を使用し、プログラムは FORTRAN で記述した。

6つの場合の識別実験結果を表1～表6に示す。各表の上部に2本の直線 ℓ_1 、 ℓ_2 の真の勾配(傾き)を示す。各項の上段は ℓ_1 、下段は ℓ_2 である。前述したように、直線の方程式を画面F上でデジタル化する際の量子化誤差があるので、 ℓ_1 、 ℓ_2 の勾配が完全に正確には抽出されていないが、2本の直線の識別にはいずれの場合も成功している。y切片とはいずれの場合も正しく0となっている。度数百分率

とは、その直線(ハフ曲線の交点)に対して行われた併合回数を全併合回数で除した割合である。 ℓ_1 と ℓ_2 の ψ を加えても100%にならないのは ℓ_1 、 ℓ_2 以外にも雑音的な直線が多数検出されるからである。しかし、常に ℓ_1 は第1位、 ℓ_2 は第2位に入っている。

表7に逆正接表を使用した場合と使用せずにそのつど逆正接を計算した場合の処理時間の比較を示す。この表では余り大きな差は表われていないが、画面サイズがもっと大きくなつて計算量が増加すると逆正接表の効果が表われるものと考える。

表8、表9に通常のハフ変換の計算方法で同じ直線検出を行った場合の結果を示す。表8は画面サイズ $X=256$ の場合、表9は $X=512$ の場合である。 θ 軸の刻み数Kは 360 (1.0° 間隔)、 720 (0.5° 間隔)、 1800 (0.2° 間隔)、 3600 (0.1° 間隔) の4つの場合について行った(但し、 $X=512$ の場合にはKを 3600 にするとパラメータ平面が標準の仮想記憶空間 $16MB$ を越えるので実験していない)。 ρ 軸の刻みは全て 1.0 間隔とした。 $X=256$ の場合では、表4(本方式)と表8(通常方式)の比較になる。 ℓ_2 の勾配の真値は 44.88744° に対して、本方式では 44.79362 (誤差 -0.09382) 又は 44.85092 (同 -0.03652) であり、通常方式では刻み数Kが 360 のとき 44.49992 (同 -0.38752)、 720 のとき 44.74991 (同 -0.13753) と誤差が大きく、Kが 1800 のとき、 44.89995 (同 -0.01251)、Kが 3600 のとき、 44.84995 (同 -0.03749) と少くなっている。しかし、処理時間は本方式が、例えば $N=256$ のとき 463 (ミリ秒) であるのに対し、通常方式では刻み数Kが 720 のときに 405 (ミリ秒) とコンパラブルであるが、Kが 1800 では 1090 (ミリ秒)、 3600 では 2409 (ミリ秒) と大変長くなっている。又、原画像Fの格納用以外に必要なメモリとしては、本方式では黒点数Nに依存するが、この場合の最大の $N=256$ の場合で比較すると、黒点位置表Pとして $256 \times 2 \times 4 = 2048B$ 、交点位置表Cとしては $N_h = 32640$ ゆえ、 $32640 \times 3 \times 4 = 391680B$ 、合計約 $394KB$ となるのに対し、通常方式ではパラメータ平面は ρ の区間を $[-\sqrt{2}X, +\sqrt{2}X]$ とすると、 ρ 軸の刻み数は刻み間隔を1として、 $2\sqrt{2}X$ となるが、このとき、 θ 軸の刻み数Kが 360 のときに約 $1MB$ 、 720 のときに約 $2MB$ 、 1800 のときに約 $5MB$ 、 3600 のときに約 $10MB$ と大変多くなる。

$X=512$ の場合の表5と表9の比較に関しても同じようなことがいえる。この場合、表9では勾配に*印を付けてあ

表 1 直線検出結果 ($X = 3.2$)
 (真の勾配値 $\ell_1 : 45.00000$ (度) ; $\ell_2 : 44.06081$ (度))

黒点数 N (交点数 N_H)	直線	勾配 ϕ (度)	γ 切片 ξ	度数百分率 ψ (%)	併合 回数	処理時間 (m s)	
						表作成	計算時間
16 (120)	ℓ_1	45.02280	0.0	73.03	89	2	2
	ℓ_2	43.24664	0.0	5.62			
32 (496)	ℓ_1	45.02280	0.0	68.31	445	2	6
	ℓ_2	44.13205	0.0	1.80			

表 2 直線検出結果 ($X = 6.4$)
 (真の勾配値 $\ell_1 : 45.00000$ (度) ; $\ell_2 : 44.54164$ (度))

黒点数 N (交点数 N_H)	直線	勾配 ϕ (度)	γ 切片 ξ	度数百分率 ψ (%)	併合 回数	処理時間 (m s)	
						表作成	計算時間
16 (120)	ℓ_1	45.02280	0.0	74.71	87	6	2
	ℓ_2	44.50714	0.0	8.05			
32 (496)	ℓ_1	45.02280	0.0	70.21	433	6	6
	ℓ_2	44.27797	0.0	3.23			
64 (2016)	ℓ_1	45.02280	0.0	62.99	1932	6	25
	ℓ_2	44.33527	0.0	2.59			

表 3 直線検出結果 ($X = 1.28$)
 (真の勾配値 $\ell_1 : 45.00000$ (度) ; $\ell_2 : 44.77354$ (度))

黒点数 N (交点数 N_H)	直線	勾配 ϕ (度)	γ 切片 ξ	度数百分率 ψ (%)	併合 回数	処理時間 (m s)	
						表作成	計算時間
16 (120)	ℓ_1	45.02280	0.0	68.42	95	26	5
	ℓ_2	44.62175	0.0	13.68			
32 (496)	ℓ_1	45.02280	0.0	69.89	435	26	8
	ℓ_2	44.62175	0.0	6.67			
64 (2016)	ℓ_1	45.02280	0.0	63.48	1917	26	27
	ℓ_2	44.62175	0.0	5.01			
128 (8128)	ℓ_1	45.02280	0.0	59.45	8009	26	113
	ℓ_2	44.62175	0.0	4.27			

表 4 直線検出結果 ($X = 2.56$)
 (真の勾配値 $\ell_1 : 45.00000$ (度) ; $\ell_2 : 44.88744$ (度))

黒点数 N (交点数 N_H)	直線	勾配 ϕ (度)	γ 切片 ξ	度数百分率 ψ (%)	併合 回数	処理時間 (m s)	
						表作成	計算時間
16 (120)	ℓ_1	45.02280	0.0	65.66	99	104	26
	ℓ_2	44.79362	0.0	15.15			
32 (496)	ℓ_1	45.02280	0.0	64.65	447	105	29
	ℓ_2	44.85092	0.0	9.84			
64 (2016)	ℓ_1	45.02280	0.0	63.72	1910	104	46
	ℓ_2	44.85092	0.0	9.06			
128 (8128)	ℓ_1	45.02280	0.0	59.68	7978	104	135
	ℓ_2	44.79362	0.0	7.08			
256 (32640)	ℓ_1	45.02280	0.0	61.90	32471	104	463
	ℓ_2	44.79362	0.0	6.49			

表5 直線検出結果 ($X = 512$)
 (真の勾配値 $\ell_1 : 45.00000$ (度) ; $\ell_2 : 44.94388$ (度))

黒点数N (交点数N _H)	直線	勾配 ϕ (度)	y 切片 ξ	度数百分率 ψ (%)	併合 回数	処理時間 (m s)	
						表作成	計算時間
16 (120)	ℓ_1	45.02280	0.0	61.90	105	418	154
	ℓ_2	44.90822	0.0	20.95			
32 (496)	ℓ_1	45.02280	0.0	63.24	457	416	158
	ℓ_2	44.90822	0.0	16.63			
64 (2016)	ℓ_1	45.02280	0.0	62.93	1934	426	175
	ℓ_2	44.90822	0.0	16.86			
128 (8128)	ℓ_1	45.02280	0.0	59.80	7962	421	256
	ℓ_2	44.90822	0.0	14.18			
256 (32640)	ℓ_1	45.02280	0.0	64.83	32420	416	571
	ℓ_2	44.90822	0.0	12.85			
512 (130186)	ℓ_1	45.02280	0.0	59.44	130556	418	2223
	ℓ_2	44.90822	0.0	13.49			

表6 直線検出結果 ($X = 1024$)
 (真の勾配値 $\ell_1 : 45.00000$ (度) ; $\ell_2 : 44.97198$ (度))

黒点数N (交点数N _H)	直線	勾配 ϕ (度)	y 切片 ξ	度数百分率 ψ (%)	併合 回数	処理時間 (m s)	
						表作成	計算時間
16 (120)	ℓ_1	45.02280	0.0	60.19	108	1731	796
	ℓ_2	44.96552	0.0	25.93			
32 (496)	ℓ_1	45.02280	0.0	62.15	465	1727	807
	ℓ_2	44.96552	0.0	21.29			
64 (2016)	ℓ_1	45.02280	0.0	62.47	1948	1716	804
	ℓ_2	44.96552	0.0	18.89			
128 (8128)	ℓ_1	45.02280	0.0	59.72	7972	1753	888
	ℓ_2	44.96552	0.0	16.12			
256 (32640)	ℓ_1	45.02280	0.0	64.90	32384	1742	1208
	ℓ_2	44.96552	0.0	14.63			
512 (130186)	ℓ_1	45.02280	0.0	61.45	130456	1732	3000
	ℓ_2	44.96552	0.0	16.23			
1024 (523776)	ℓ_1	45.02280	0.0	59.41	523338	1737	11203
	ℓ_2	44.96552	0.0	15.29			

表7 逆正接表を使用した場合と、使用しなかつた場合の処理時間(単位ミリ秒)
 の比較 ($X = 256$)

黒点数N	使用した場合		使用しない場合
	表作成時間	計算時間	
16	104	26	26
32	105	29	29
64	104	46	48
128	104	135	144
256	104	463	506

表8 通常のハフ変換計算法による直線検出結果 ($X = 256$)
(真の勾配値 $\ell_1 : 45.00000$ (度) ; $\ell_2 : 44.88744$ (度)) (時間はミリ秒)

θ軸の刻み数 = 360 の場合					θ軸の刻み数 = 720 の場合				
黒点数 N	直線	勾配 φ (度)	度数	計算時 間	黒点数 N	直線	勾配 φ (度)	度数	計算時 間
16	ℓ_1	44.99989	11	147	16	ℓ_1	44.99989	11	263
	ℓ_2	44.49992	8		ℓ_2	44.74991	9		
32	ℓ_1	44.99989	23	152	32	ℓ_1	44.99989	23	271
	ℓ_2	44.49992	11		ℓ_2	44.74991	16		
64	ℓ_1	44.99989	47	160	64	ℓ_1	44.99989	47	289
	ℓ_2	44.49992	34		ℓ_2	44.74991	37		
128	ℓ_1	44.99989	91	180	128	ℓ_1	44.99989	91	328
	ℓ_2	44.49992	50		ℓ_2	44.74991	73		
256	ℓ_1	44.99989	190	213	256	ℓ_1	44.99989	190	405
	ℓ_2	44.49992	111		ℓ_2	44.74991	125		
θ軸の刻み数 = 1800 の場合					θ軸の刻み数 = 3600 の場合				
黒点数 N	直線	勾配 φ (度)	度数	計算時 間	黒点数 N	直線	勾配 φ (度)	度数	計算時 間
16	ℓ_1	44.99994	11	602	16	ℓ_1	44.94995	16	1231
	ℓ_2	44.89995	14		ℓ_2	44.84995	14		
32	ℓ_1	44.99994	23	641	32	ℓ_1	44.94995	32	1312
	ℓ_2	44.89995	26		ℓ_2	44.84995	26		
64	ℓ_1	44.99994	47	710	64	ℓ_1	44.94995	63	1475
	ℓ_2	44.89995	55		ℓ_2	44.84995	55		
128	ℓ_1	44.99994	91	842	128	ℓ_1	44.94995	125	1779
	ℓ_2	44.89995	111		ℓ_2	44.84995	109		
256	ℓ_1	44.99994	190	1090	256	ℓ_1	44.94995	241	2409
	ℓ_2	44.89995	221		ℓ_2	44.84995	220		

る項目は直線検出に失敗した場合であり、 $X = 512$ の場合、刻み数Kが360や720では失敗が発生している。この場合、必要メモリは、刻み数Kが3600の場合には約20.85MBとなり、大型計算機の標準の仮想記憶空間の16MBを越えるのに対して、本方式ではN=512のときに約1.6MBであり、パソコンでも実行可能なメモリの大きさである。

5. まとめ

パラメータ平面を用いない丸め併合法という方法で、極めて近接した2本の直線を識別できる高精度なハフ変換の計算法を提案し、基礎的な実験を行った。その結果、ディジタル画面上で最小限である1画素の差で近接させた2本の直線を、画面サイズが 32×32 から 1024×1024 のいずれの場合でも正しく検出することができた。又、従来の通常の計算方法との比較実験も行った。その結果、精度、処理時間、使用メモリともに本方式の方に良い結果が得られた。特に必要メモリには大きな差が表われ、従来の方法では計算が困

難な巨大なパラメータ平面を必要とする場合でも本方式ではわずかなメモリで計算を行うことが出来ることが分かった。今後は本方式を、直線以外の検出を目的とする一般化ハフ変換に応用する方法を検討したいと考える。

文献

- (1) 輪水大和：“Hough変換に関する最近の研究動向”，情処学研資，CV51-1, p.p. 1-8, 1987.
- (2) 輪水大和：“直線パターン検出のためのHough曲線追跡型アルゴリズムについて”，信学論D, J68-D, 10, p.p. 1769-1776, 1985.
- (3) 関田邦夫、青木由直：“三角関数の周期性を利用したHough変換の高速計算法”，信学論D, J70-D, 10, p.p. 2009-2011, 1987.
- (4) 安原院猛、崔亨振、中嶋正之：“ピラミッド階層を利用した高速ハフ変換について”，信学技報IE86-67, 1986.
- (5) 花原啓至、丸山次人、内山隆：“実時間Hough変換プロセッサ”，昭和60年度信学情報・システム部門全大, 92, 1985.

(表9は次ページ)

表9 通常のハフ変換計算法による直線検出結果 ($X = 5, 1, 2$)
 (真の勾配値 $\ell_1 : 45.00000$ (度) ; $\ell_2 : 44.94388$ (度)) (時間はミリ秒)

θ 軸の刻み数 = 360 の場合					θ 軸の刻み数 = 720 の場合					
黒点数 N	直線	勾配 ϕ (度)	度数	計算時 間	黒点数 N	直線	勾配 ϕ (度)	度数	計算時 間	
16	ℓ_1	44.99989	11	389	16	ℓ_1	44.99989	11	625	
	ℓ_2	44.49992	5			ℓ_2	44.74991	8		
32	ℓ_1	44.99989	23	397	32	ℓ_1	44.99989	23	644	
	ℓ_2	*44.99989	9			ℓ_2	*45.24986	11		
64	ℓ_1	44.99989	47	409	64	ℓ_1	44.99989	47	675	
	ℓ_2	*44.99989	17			ℓ_2	44.74991	23		
128	ℓ_1	44.99989	91	427	128	ℓ_1	44.99989	91	736	
	ℓ_2	*44.99989	37			ℓ_2	44.74991	49		
256	ℓ_1	44.99989	197	466	256	ℓ_1	44.99989	197	811	
	ℓ_2	*44.99989	59			ℓ_2	44.74991	103		
512	ℓ_1	44.99989	367	540	512	ℓ_1	44.99989	367	993	
	ℓ_2	*44.99989	145			ℓ_2	44.74991	218		
θ 軸の刻み数 = 1800 の場合										
黒点数 N	直線	勾配 ϕ (度)	度数	計算時 間						
16	ℓ_1	44.99994	11	1342						
	ℓ_2	44.79996	9							
32	ℓ_1	44.99994	23	1382						
	ℓ_2	44.89995	16							
64	ℓ_1	44.99994	47	1453						
	ℓ_2	44.89995	37							
128	ℓ_1	44.99994	91	1622						
	ℓ_2	44.89995	73							
256	ℓ_1	44.99994	197	1950						
	ℓ_2	44.89995	140							
512	ℓ_1	44.99994	367	2527						
	ℓ_2	44.89995	294							